

# Исследование распространения упругопластической границы в трубе из идеального упругопластического материала под действием динамических нагрузок различного вида

**П. В. ТИШИН**

Московский государственный университет  
им. М. В. Ломоносова  
e-mail: pvtishin@mech.math.msu.su

УДК 539.375

**Ключевые слова:** упругость, пластичность, динамика, труба.

## Аннотация

В работе проведено исследование динамики распространения границы между областями упругости и пластичности для полого толстостенного цилиндра, находящегося под действием внутреннего давления, приложенного мгновенно. Дано обоснование точности получаемого численного решения. Рассмотрен более общий режим нагружения трубы.

## Abstract

*P. V. Tishin, A study of elastic-plastic boundary propagation in a tube of elastic-perfectly plastic material under dynamic loadings of different types, Fundamentalnaya i prikladnaya matematika, vol. 21 (2016), no. 3, pp. 201–216.*

The research of dynamics of the distribution of the border between areas of elasticity and plasticity for a hollow thick-walled cylinder under the influence of the internal pressure applied instantly is conducted in this work. The proof of the accuracy of the obtained numerical solution is provided. A more general regime of loading a tube is examined.

## 1. Введение

Задача о нагружении трубы внутренним давлением является классической для механики сплошных сред. Для упругого и пластического случая она рассмотрена, например, в [5–7]. Для упругопластического материала данная задача рассматривалась в [8]. Как правило, задача рассматривается в статической постановке. Влияние мгновенных напряжений на деформирование металлов исследовалось Б. Гопкинсоном [11, 12]. Динамика распространения границы между областями упругости и пластичности была рассмотрена в работе

Е. В. Ломакина [4]. Для того чтобы оценить влияние запаздывания текучести на распространение пластической области, Е. В. Ломакиным было получено численное решение задачи о динамическом распространении границы между областями трубы, находящимися в состоянии упругости и пластичности. Целью данной работы является рассмотрение более общего режима нагружения, а также обоснование точности полученного численного решения.

Рассматривается задача о динамическом деформировании толстостенной трубы под действием внутреннего давления в условиях плоской деформации. В работе принимается модель идеального упругопластического тела.

Запишем уравнения для связи между перемещениями и деформациями, а также дифференциальные уравнения движения в полярной системе координат:

$$\begin{aligned}\varepsilon_r &= \frac{\partial u_r}{\partial r}, \\ \varepsilon_\theta &= \frac{1}{r} \frac{\partial u_\theta}{\partial \theta} + \frac{u_r}{r},\end{aligned}\tag{1}$$

$$\begin{aligned}\varepsilon_{r\theta} &= \frac{1}{2} \left( \frac{1}{r} \frac{\partial u_r}{\partial \theta} + \frac{\partial u_\theta}{\partial r} \right), \\ \frac{\partial \sigma_r}{\partial r} + \frac{1}{r} \frac{\partial \sigma_{r\theta}}{\partial \theta} + \frac{\sigma_r - \sigma_\theta}{r} + F_r &= \rho \frac{\partial^2 u_r}{\partial t^2}, \\ \frac{\partial \sigma_{r\theta}}{\partial r} + \frac{1}{r} \frac{\partial \sigma_\theta}{\partial \theta} + \frac{2}{r} \sigma_{r\theta} + F_\theta &= \rho \frac{\partial^2 u_\theta}{\partial t^2}.\end{aligned}\tag{2}$$

Запишем обобщённый закон Гука для изотропной среды:

$$\sigma_{ij} = \lambda I_1(\varepsilon) g_{ij} + 2\mu \varepsilon_{ij},\tag{3}$$

где  $I_1(\varepsilon) = \varepsilon_{ii}$  — первый инвариант тензора деформаций.

## 2. Постановка задачи

### в модели идеального упругопластического тела

#### 2.1. Упругая деформация

Обозначим через  $a$  внутренний радиус трубы, через  $b$  — внешний радиус трубы. Будем считать трубу изготовленной из несжимаемого материала и длинной, вследствие чего осевые деформации примем равными нулю ( $I_1(\varepsilon) = 0$ ). По принципу Сен-Венана будем утверждать, что поперечные сечения трубы останутся плоскими и напряжённое состояние в них будет одинаково. Искомые функции зависят только от радиуса  $r$ . Тогда из уравнений (1), (2) получим уравнение движения для трубы:

$$\frac{\partial \sigma_r}{\partial r} + \frac{\sigma_r - \sigma_\theta}{r} = \rho \frac{\partial^2 U}{\partial t^2},$$

где  $U = u_r$  — размерные переменные. Условие несжимаемости имеет вид

$$\frac{\partial U}{\partial r} + \frac{U}{r} = 0.$$

Запишем деформации:

$$\varepsilon_r = \frac{\partial U}{\partial r}, \quad \varepsilon_\theta = \frac{U}{r}.$$

Введём безразмерный радиус

$$\bar{r} = \frac{r}{a}.$$

Тогда уравнение движения запишется следующим образом:

$$\frac{\partial \sigma_r}{\partial \bar{r}} + \frac{\sigma_r - \sigma_\theta}{\bar{r}} = \rho \frac{\partial^2 U}{\partial t^2} a.$$

Виртуальное перемещение имеет вид

$$U = a \frac{C(t)}{\bar{r}}$$

(из уравнения несжимаемости). Из закона Гука (3) в случае несжимаемости

$$\sigma_r = p + 2\mu\varepsilon_r = 2\mu\varepsilon_r, \quad \sigma_\theta = p + 2\mu\varepsilon_\theta = 2\mu\varepsilon_\theta$$

следует, что

$$\sigma_r - \sigma_\theta = s_r - s_\theta = 2\mu(\varepsilon_r - \varepsilon_\theta),$$

где  $s_r$  и  $s_\theta$  — девиаторы напряжений. Условие несжимаемости при безразмерном  $\bar{r}$  имеет вид

$$\frac{\partial \bar{U}}{\partial \bar{r}} + \frac{\bar{U}}{\bar{r}} = 0,$$

где

$$\bar{U} = \frac{U(r, t)}{a} = \frac{C(t)}{\bar{r}}.$$

Запишем деформации:

$$\varepsilon_r = \frac{\partial U}{\partial r} = \frac{\partial \bar{U}}{a \partial \bar{r}} = -\frac{C(t)}{\bar{r}^2},$$

$$\varepsilon_\theta = \frac{U}{a \bar{r}} = \frac{C(t)}{\bar{r}^2}.$$

Разность имеет вид

$$\sigma_r - \sigma_\theta = 2\mu(\varepsilon_r - \varepsilon_\theta) = -4\mu \frac{C(t)}{\bar{r}^2}. \quad (4)$$

Инерционный член имеет вид

$$\rho \frac{\partial^2 U}{\partial t^2} = \rho a \frac{C''(t)}{\bar{r}}.$$

Можно перейти к безразмерному времени

$$\bar{t} = \frac{t}{t_*},$$

где

$$t_* = \frac{a}{C_0}, \quad C_0 = \sqrt{\frac{\mu}{\rho}},$$

$C_0$  — скорость волны сдвига. Тогда

$$\rho \frac{\partial^2 U}{\partial t^2} a = \rho a^2 \frac{C''(\bar{t})}{\bar{r}} \frac{C_0^2}{a^2} = C_0^2 \rho \frac{C''(\bar{t})}{\bar{r}} = \mu \frac{C''(\bar{t})}{\bar{r}}.$$

Тогда уравнение движения можно представить в виде

$$\frac{\partial \sigma_r}{\partial \bar{r}} = \mu \left[ \frac{C''(\bar{t})}{\bar{r}} + 4 \frac{C(\bar{t})}{\bar{r}^3} \right].$$

Запишем граничные условия:

$$\bar{r} = \frac{b}{a} = \bar{r}_*, \quad \sigma_r = 0, \quad \bar{r} = 1, \quad \sigma_r = -q,$$

где  $q$  — плотность давления на внутренней поверхности трубы. Запишем начальные условия:

$$U(r, 0) = 0 \implies C(0) = 0, \\ U'(r, 0) = 0 \implies C'(0) = 0.$$

Интегрируя уравнение движения, используя условие  $\sigma_r = 0$  при  $\bar{r} = \bar{r}_* = b/a$ , получаем распределение  $\sigma_r$ :

$$\sigma_r = \mu \left[ \ln \left( \frac{\bar{r}}{\bar{r}_*} \right) C''(\bar{t}) - 2 \left( \frac{1}{\bar{r}^2} - \frac{1}{\bar{r}_*^2} \right) C(\bar{t}) \right].$$

Используя второе граничное условие  $\bar{r} = 1$ ,  $\sigma_r = -q$ , получаем дифференциальное уравнение для определения функции  $C(\bar{t})$ :

$$q = \mu \left[ (\ln \bar{r}_*) C''(\bar{t}) + 2 \left( 1 - \frac{1}{\bar{r}_*^2} \right) C(\bar{t}) \right].$$

Решение при начальных условиях  $C(0) = 0$ ,  $C'(0) = 0$  имеет вид

$$C(t) = \frac{q}{2\mu} \frac{\bar{r}_*^2}{\bar{r}_*^2 - 1} (1 - \cos \omega \bar{t}), \quad (5)$$

здесь

$$\omega^2 = \frac{2(\bar{r}_*^2 - 1)}{\bar{r}_*^2 \ln \bar{r}_*}.$$

## 2.2. Пластическая деформация

Далее задача рассматривается в условиях продолжающегося движения границы раздела между упругой и пластической областями. Из критерия пластичности Треска получаем, что

$$|\sigma_r - \sigma_\theta| = 2K.$$

Решение (5) справедливо при условии  $2\mu C(\bar{t}) < K$ .

Найдём значение  $q = q^*$ , при котором на внутренней поверхности трубы начнут развиваться пластические деформации:

$$q^* = K \frac{\bar{r}_*^2 - 1}{\bar{r}_*^2(1 - \cos \omega \bar{t})} > \frac{K(\bar{r}_*^2 - 1)}{2\bar{r}_*^2}.$$

При рассмотрении задачи в статической постановке получаем

$$q^* > \frac{K(\bar{r}_*^2 - 1)}{\bar{r}_*^2}$$

(см., например, [3]). Решение, полученное в упругом случае, имеет смысл при  $q < q^*$ . Будем рассматривать случай  $q > q^*$ .

Из граничного условия на границе упругой и пластической области, а также из условия несжимаемости материала получаем, что

$$U_e(x) = U_p(x),$$

следовательно,

$$C_p = C_e = C(\bar{t}),$$

где индексы  $e$  и  $p$  обозначают принадлежность функций к области упругости или пластичности соответственно.

Дифференциальное уравнение движения для пластической области имеет вид

$$\frac{\partial \sigma_r}{\partial \bar{r}} = \mu \frac{C''(\bar{t})}{\bar{r}} + \frac{2K}{\bar{r}}.$$

При действии внутреннего давления пластическая область будет распространяться с внутреннего радиуса. Поэтому используем граничное условие:

$$\bar{r} = 1, \quad \sigma_r = -q.$$

Интегрируя, получаем

$$\sigma_r = -q + [2K + \mu C''(\bar{t})] \ln \bar{r}.$$

Обозначим через  $x(\bar{t})$  безразмерный радиус границы пластической и упругой областей. На этой границе напряжение  $\sigma_r$  непрерывно (следствие законов сохранения и условий несжимаемости), поэтому

$$q - [2K + \mu C''(\bar{t})] \ln x = \mu \left[ \left( \ln \frac{\bar{r}_*}{x} \right) C''(\bar{t}) + 2 \left( \frac{1}{x^2} - \frac{1}{\bar{r}_*^2} \right) C(\bar{t}) \right].$$

Его можно записать в виде

$$\frac{\mu \ln \bar{r}_*}{K} C''(\bar{t}) + \ln x^2 + \frac{2\mu}{K} \left( \frac{1}{x^2} - \frac{1}{\bar{r}_*^2} \right) C(\bar{t}) = \frac{q}{K}.$$

На границе упругой и пластической областей  $|\sigma_r - \sigma_\theta| = 2K$ . С учётом (4) получаем

$$x^2(t) = \frac{2\mu C(\bar{t})}{K}.$$

Обозначим  $x^2(\bar{t}) = y(\bar{t})$ . Тогда получим уравнение

$$\frac{\ln \bar{r}_*}{2} y'' + \ln y - \frac{y}{\bar{r}_*^2} = \frac{q}{K} - 1. \quad (6)$$

Начальные условия:  $t_0$  — время начала пластических деформаций на внутреннем радиусе ( $\bar{r} = 1$ ), для каждого значения  $q/K$  оно разное. Время  $t_0$  определяется по упругому решению:

$$\frac{K(1 - 1/\bar{r}_*^2)}{q} = (1 - \cos(\omega t_0)),$$

$$t_0 = \frac{1}{\omega} \arccos \left( 1 - \frac{K}{q} \left( 1 - \frac{1}{\bar{r}_*^2} \right) \right).$$

Начальные условия можно записать следующим образом:

$$y(t_0) = \frac{2\mu C(t_0)}{K} = 1, \quad y'(t_0) = \frac{2\mu C'(t_0)}{K}.$$

Уравнение (6) — обыкновенное дифференциальное уравнение с разделяющимися переменными. Проинтегрируем его один раз. Получим

$$\frac{\ln \bar{r}_*}{4} y'^2 = \frac{q}{K} y + \frac{y^2}{2\bar{r}_*^2} - y \ln y + P_1, \quad (7)$$

где  $P_1$  — константа, определяемая с помощью начальных условий. Имеем

$$(1 - \cos(\omega t_0)) = \frac{K(1 - 1/\bar{r}_*^2)}{q} = \frac{K(\bar{r}_*^2 - 1)}{\bar{r}_*^2 q}, \quad (8)$$

$$\omega^2 = \frac{2(\bar{r}_*^2 - 1)}{\bar{r}_*^2 \ln \bar{r}_*},$$

$$C(t_0) = \frac{q}{2\mu} \frac{\bar{r}_*^2}{\bar{r}_*^2 - 1} (1 - \cos(\omega t_0)), \quad (9)$$

$$y'(t_0) = \frac{2\mu C'(t_0)}{K}, \quad y(t_0) = 1. \quad (10)$$

Из (9) следует, что

$$C'(t_0) = \frac{q\bar{r}_*^2}{2\mu(\bar{r}_*^2 - 1)} \sqrt{\frac{2(\bar{r}_*^2 - 1)}{\bar{r}_*^2 \ln \bar{r}_*}} \sin(\omega t_0) = \frac{q}{\mu\omega \ln \bar{r}_*} \sin(\omega t_0).$$

Из (9) и (10) получаем, что

$$y'(t_0) = \frac{2q}{K\omega \ln \bar{r}_*} \sin(\omega t_0) = \frac{2q}{K\omega \ln \bar{r}_*} \sqrt{1 - \cos^2(\omega t_0)}. \quad (11)$$

Из (8) выводим, что

$$\begin{aligned} \cos(\omega t_0) &= 1 - \frac{K(\bar{r}_*^2 - 1)}{q\bar{r}_*^2}, \\ \cos^2(\omega t_0) &= 1 - \frac{2K(\bar{r}_*^2 - 1)}{q\bar{r}_*^2} + \frac{K^2(\bar{r}_*^2 - 1)^2}{q^2\bar{r}_*^4}. \end{aligned} \quad (12)$$

Из (11) и (12) получаем, что

$$y'(t_0) = \frac{2q}{K\omega \ln \bar{r}_*} \sqrt{\frac{2K(\ln \bar{r}_*^2 - 1)}{q\bar{r}_*^2} - \frac{K^2(\bar{r}_*^2 - 1)^2}{q^2\bar{r}_*^4}}.$$

В итоге получим

$$\begin{aligned} P_1 &= \frac{\ln \bar{r}_*}{4} y'^2 - \frac{q}{K} - \frac{1}{2\bar{r}_*^2} = \\ &= \frac{q^2}{K^2\omega^2 \ln \bar{r}_*} \left( \frac{2K(\bar{r}_*^2 - 1)}{q\bar{r}_*^2} - \frac{K^2(\bar{r}_*^2 - 1)^2}{q^2\bar{r}_*^4} \right) - \frac{q}{K} - \frac{1}{2\bar{r}_*^2} = \\ &= \frac{q}{K} - \frac{q}{K} - \frac{\ln \bar{r}_* \omega^2}{4} - \frac{1}{\bar{r}_*^2}, \\ P_1 &= -\frac{\bar{r}_*^2 - 1}{2\bar{r}_*^2} - \frac{1}{2\bar{r}_*^2} = -\frac{1}{2}. \end{aligned}$$

Разрешаем уравнение (7) относительно  $y'$ :

$$y' = \frac{2}{\sqrt{\ln \bar{r}_*}} \sqrt{\frac{q}{K} y + \frac{y^2}{2\bar{r}_*^2} - y \ln y - \frac{1}{2}}. \quad (13)$$

Подставим  $y = x^2$ :

$$\begin{cases} x' = \frac{1}{\sqrt{\ln \bar{r}_*}} \sqrt{\frac{q}{K} + \frac{x^2}{2\bar{r}_*^2} - 2 \ln x - \frac{1}{2x^2}}, \\ x(t_0) = 1. \end{cases}$$

Решение уравнения должно проводиться при параметрах  $q/K$  и  $\bar{r}_*$ , удовлетворяющих условию возникновения пластичности:

$$\frac{q}{K} \geq \frac{1}{2} \left( 1 - \frac{1}{\bar{r}_*^2} \right).$$

Теперь найдём, при каком значении  $q/K$  цилиндр целиком перейдёт в состояние пластичности:

$$x' = \frac{1}{\sqrt{\ln \bar{r}_*}} \sqrt{\frac{q}{K} + \frac{x^2}{2\bar{r}_*^2} - 2 \ln x - \frac{1}{2x^2}} = 0,$$

$$\frac{q}{K} = \xi,$$

$$x = \bar{r}_*,$$

$$\frac{q}{K} = 2 \ln \bar{r}_* + \frac{1}{2\bar{r}_*^2} - \frac{1}{2}.$$

При рассмотрении задачи в статической постановке  $q/K = 2 \ln \bar{r}_*$  [3].

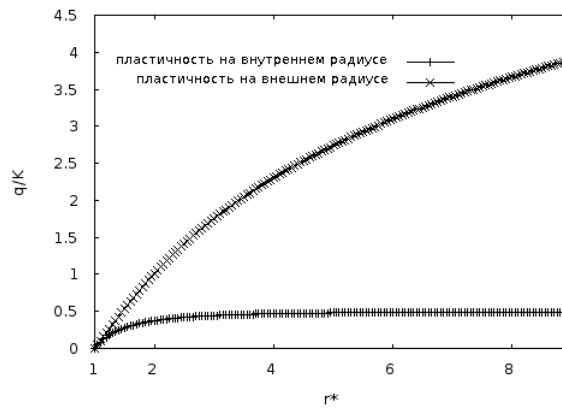


Рис. 1

### 2.3. Метод решения

Будем решать это дифференциальное уравнение численно, воспользовавшись методом Рунге—Кутты четвертого порядка с автоматическим выбором шага и оценкой погрешности [2, 10]. Воспользуемся уравнениями метода Рунге—Кутты с коэффициентами, приведёнными в [9]. Рассмотрим задачу Коши

$$\begin{cases} y' = f(x, y), \\ y(x_0) = y_0. \end{cases}$$

Приближённое значение в последующих точках вычисляется по формуле

$$y_{n+1} = y_n + \frac{h}{6}(k_1 + 2k_2 + 2k_3 + k_4),$$

где

$$k_1 = f(x_n, y_n),$$

$$k_2 = f\left(x_n + \frac{h}{2}, y_n + \frac{h}{2}k_1\right),$$



$$k_3 = f\left(x_n + \frac{h}{2}, y_n + \frac{h}{2}k_2\right),$$

$$k_4 = f(x_n + h, y_n + hk_3),$$

$h$  — шаг.

Для оценивания погрешности и выбора шага воспользуемся методом горизонтального выбора шага. Посчитаем значения интеграла в точке за один шаг и за два с учётом погрешности метода, затем найдём их разность. Имеем

$$\Delta = \frac{I_1 - I_{22}}{1 - 1/2^s},$$

где  $I_1$  — значение интеграла, посчитанное за один шаг,  $I_{22}$  — значение интеграла, посчитанное за два шага,  $C$  — константа,  $s$  — порядок метода,  $\Delta = Ch^{s+1}$  — главный член погрешности. Выбираем новый шаг  $h_{\text{new}}$  таким образом, чтобы погрешность на шаге была равна  $\varepsilon$  ( $Ch_{\text{new}}^{s+1} = \varepsilon$ ):

$$\left(\frac{h}{h_{\text{new}}}\right)^{s+1} = \frac{\Delta}{\varepsilon} = \chi.$$

Будем выбирать новый шаг по формуле:

$$h_{\text{new}} = \frac{0,95h}{\sqrt[s+1]{\chi}}.$$

Глобальную погрешность вычисляем по формуле

$$\delta_{k+1} = \delta_k e^{\int_{t_k}^{t_{k+1}} \mu ds} + r_k,$$

где  $\delta_k$  — значение глобальной погрешности к  $k$ -му шагу,  $r_k$  — локальная погрешность на шаге,  $\mu$  — максимальное сингулярное число, определяемое как максимальное собственное значение матрицы  $(J + J^T)/2$ ,  $J$  — якобиан системы. В нашем случае одного уравнения максимальное собственное значение равно

$$\mu = \frac{x/\bar{r}_*^2 - 2/x + 1/x^3}{2\sqrt{\bar{r}_*(q/K + x^2/(2\bar{r}_*^2) - 2\ln x - 1/(2x^2))}}.$$

Для того чтобы убедиться в правильности решений, найдём значения функции в трёх различных точках ( $t = 2, 5, 11$ ) с тремя различными погрешностями на шаге.

$\varepsilon$	2	5	11
$10^{-7}$	2,22802282019651	4,13950553685536	5,46500206374295
$10^{-9}$	2,22802297613335	4,13950606569059	5,4650026473705
$10^{-11}$	2,22802298288977	4,1395060800067	5,46500266381324

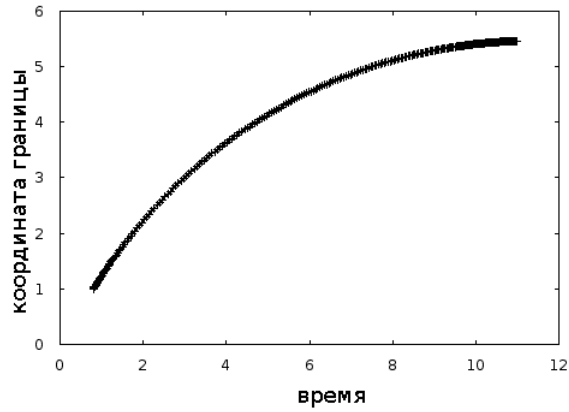


Рис. 2

Значения глобальной погрешности в точке  $t = 11$  зависят от максимальной погрешности на шаге.

$10^{-7}$	$10^{-9}$	$10^{-11}$
$1,039477084 \cdot 10^{-6}$	$2,9190828 \cdot 10^{-8}$	$6,95469 \cdot 10^{-10}$

Таким образом, мы показали, что решение данной задачи численно с использованием этого метода возможно.

Численное решение получено при  $r_* = 6$  на сетке с шагом 0,01 для различных значений  $q/K$  от 2 до 3,5.

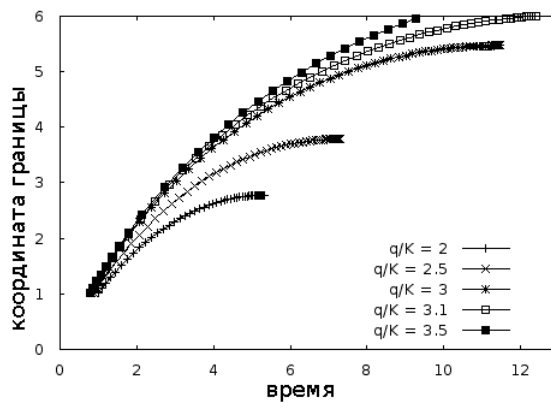


Рис. 3

Теперь рассмотрим ситуацию, когда нагрузка  $q$  снимается через время  $t_*$ . Граничные условия на границе упругой и пластической областей не изменятся, поэтому уравнение (6) останется верным. Но начальные условия изменятся:  $y(t_*) = y_*$ ,  $y'(t_*) = y'_*$ , где  $y_*$  и  $y'_*$  — возведённые в квадрат координата и скорость границы между пластической и упругой областями соответственно в момент прекращения действия нагрузки. Проинтегрировав уравнение (6) с учётом того, что  $q = 0$ , получим

$$\frac{\ln \bar{r}_*}{4} y'^2 = \frac{y^2}{2\bar{r}_*^2} - y \ln y + P_2, \tag{14}$$

где  $P_2$  — константа, определяемая с помощью уже новых начальных условий. Выражения для  $y(t)$  в явном виде у нас нет, но есть выражение (13) для  $y'(t)$ . Подставим его в (14) при  $t = t_*$  и найдём выражение для  $P_2$ :

$$P_2 = \frac{q}{K} y_* - \frac{1}{2}.$$

В итоге получим

$$y'^2 = \frac{4}{\ln \bar{r}_*} \left( \frac{q}{K} y_* + \frac{y^2}{2\bar{r}_*^2} - y \ln y - \frac{1}{2} \right). \tag{15}$$

Подставим  $y = x^2$ :

$$x' = \frac{1}{\sqrt{\ln \bar{r}_*}} \sqrt{\frac{qx_*^2}{Kx^2} + \frac{x^2}{2\bar{r}_*^2} - 2 \ln x - \frac{1}{2x^2}}.$$

На рис. 4  $t_* = \inf$  приведено для того, чтобы показать решение, при котором за время наблюдений нагрузка не снимается.

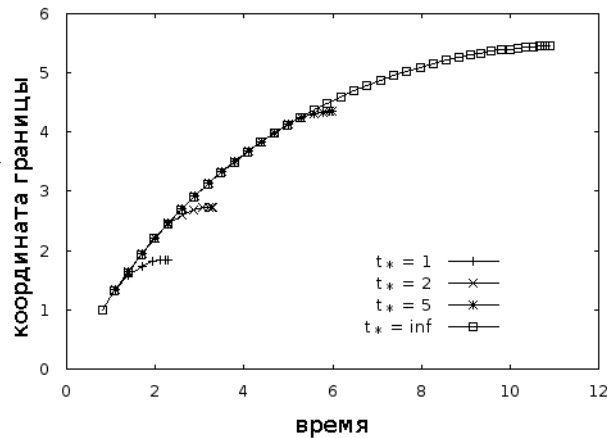


Рис. 4

### 3. Нелинейный режим нагружения

Изменим схему эксперимента.

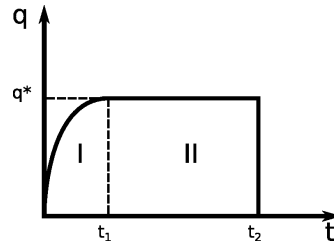


Рис. 5

Нагрузка по параболе возрастает до значения  $q^*$ , достигаемого в момент  $t_1$ , затем постоянна до момента  $t_2$ , после чего снимается. Найдём решение задачи упругости в области I:

$$q(t) = \mu \left[ (\ln \bar{r}_*) C''(\bar{t}) + 2 \left( 1 - \frac{1}{r_*^2} \right) C(\bar{t}) \right].$$

Функция нагружения имеет вид

$$q(t) = -\frac{q^*}{t_1^2} t^2 + \frac{2q^*}{t_1} t.$$

Начальные условия записываются в виде

$$\begin{aligned} C(0) &= 0, \\ C'(0) &= 0. \end{aligned}$$

Получим решение обыкновенного дифференциального уравнения:

$$\begin{aligned} C_{oo}(t) &= \xi \cos(\omega \bar{t}) + \eta \sin(\omega \bar{t}), \\ C_{cn}(t) &= \frac{q^*}{t_1 \mu (1 - 1/\bar{r}_*^2)} \left( -\frac{t^2}{2t_1} + t + \frac{1}{t_1 \omega} \right), \\ C^I(\bar{t}) &= \frac{q^*}{t_1 \mu (1 - 1/r_*^2)} \left( -\frac{\cos(\omega \bar{t})}{t_1 \omega} - \frac{\sin(\omega \bar{t})}{\omega} - \frac{\bar{t}^2}{2t_1} + t + \frac{1}{t_1 \omega} \right). \end{aligned}$$

Для определения времени начала пластических деформаций на внутреннем радиусе необходимо найти корни уравнения

$$F(t) = \frac{q^*}{t_1 \mu (1 - 1/r_*^2)} \left( -\frac{\cos(\omega \bar{t})}{t_1 \omega} - \frac{\sin(\omega \bar{t})}{\omega} - \frac{\bar{t}^2}{2t_1} + t + \frac{1}{t_1 \omega} \right) - \frac{K}{2\mu}.$$

Это можно сделать численно, воспользовавшись методом хорд [1, 2]. Расчётная формула этого метода следующая:

$$t_{n+1} = t_n - \frac{(t_n - t_0)}{F(t_n) - F(t_0)} F(t_n).$$

Примем начальное приближение для  $t_0$  равным 0, затем на каждом шаге будем принимать за  $t_0$  то значение, для которого верно  $F(t) = F''(t)$ . Нас будет интересовать ближайший к нулю положительный корень. Если найденный корень будет меньше  $t_1$ , будем строить решение нескольких систем дифференциальных уравнений:

$$\begin{cases} \bar{t} \in [t_0, t_1), \\ \ln \bar{r}_*(x'^2 + xx'') + 2 \ln x - \frac{x^2}{\bar{r}_*^2} = \frac{-(q^*t^2)/t_1^2 + (2q^*t)/t_1}{K} - 1, \\ x(t_0) = 1, \\ x'(t_0) = \frac{q^*}{t_1 K(1 - 1/\bar{r}_*^2)} \left( 1 - \cos(\omega t_0) + \frac{\sin(\omega t_0)}{t_1} - \frac{t_0}{t_1} \right). \end{cases}$$

$$\begin{cases} \bar{t} \in [t_1, t_2), \\ \ln r_*(x'^2 + xx'') + 2 \ln x - \frac{x^2}{\bar{r}_*^2} = \frac{q^*}{K} - 1, \\ x(t_1) = x_{1*}, \\ x'(t_1) = x'_{1*}, \end{cases}$$

$$\begin{cases} t_2 \leq \bar{t}, \\ \ln r_*(x'^2 + xx'') + 2 \ln x - \frac{x^2}{\bar{r}_*^2} = -1, \\ x(t_2) = x_{2*}, \\ x'(t_2) = x'_{2*}. \end{cases}$$

Теперь найдём функцию  $C(t)$  в случае наступления пластичности при достижении нагрузкой области с постоянным давлением:

$$C^{\text{II}}(\bar{t}) = \xi_2 \cos(\omega t) + \eta_2 \sin(\omega t) + \frac{q^* \bar{r}_*^2}{2\mu \bar{r}_*^2 - 1},$$

$$\begin{cases} C^{\text{II}}(t_1) = C^{\text{I}}(t_1), \\ (C^{\text{II}}(t_1))' = (C^{\text{I}}(t_1))', \end{cases}$$

$$C^{\text{II}}(\bar{t}) = \frac{q^*}{t_1 \mu (1 - 1/\bar{r}_*^2)} \times$$

$$\times \left( \left( \frac{\cos(\omega t_1)}{\omega t_1} - \frac{1}{\omega t_1} \right) \cos(\omega \bar{t}) + \left( \frac{\sin(\omega t_1)}{\omega t_1} - \frac{1}{\omega} \right) \sin(\omega \bar{t}) + \frac{t_1}{2} \right).$$

Найдём  $t_0$  для второго случая:

$$C(t_0) = \frac{K}{2\mu},$$

$$C(t_0) = \xi \cos \omega t_0 + \eta \sin \omega t_0 + \frac{qr_*^2}{2\mu(\bar{r}_*^2 - 1)}.$$

Выразим синус через косинус, перенесём всё, кроме полученного выражения, в левую часть и возведём обе части в квадрат. Получим квадратное уравнение относительно  $\cos \omega t_0$  и решим его:

$$\cos \omega t_0 = \frac{A\xi \pm \eta\sqrt{\xi^2 + \eta^2 - A^2}}{\xi^2 + \eta^2},$$

где

$$A = \frac{K}{2\mu} - \frac{qr_*^2}{2\mu(\bar{r}_*^2 - 1)}.$$

Выберем минимальное  $t_0$ , лежащее в промежутке от  $t_1$  до  $t_2$ . Имеем

$$x'(t_0) = \frac{\mu}{K}C'(t_0) = \frac{2\mu}{K}(-\omega\xi \sin(\omega t_0) + \eta\omega \cos(\omega t_0)),$$

$$x(t_0) = 1.$$

В этом случае начальные условия изменятся ( $t_0 \in [t_1, t_2]$ ):

$$\left\{ \begin{array}{l} \bar{t} \in [t_0, t_2), \\ \ln r_*(x'^2 + xx'') + 2 \ln x - \frac{x^2}{\bar{r}_*^2} = \frac{q^*}{K} - 1, \\ x(t_0) = 1, \\ x'(t_0) = \frac{q^*}{t_1 K (1 - 1/\bar{r}_*^2)} \times \\ \quad \times \left( - \left( \frac{\cos(\omega t_1)}{t_1} - \frac{1}{t_1} \right) \sin(\omega t_0) + \left( \frac{\sin(\omega t_1)}{t_1} - 1 \right) \cos(\omega t_0) \right), \\ t_2 \leq \bar{t}, \\ \ln r_*(x'^2 + xx'') + 2 \ln x - \frac{x^2}{\bar{r}_*^2} = -1, \\ x(t_2) = x_{2*}, \\ x'(t_2) = x'_{2*}. \end{array} \right.$$

Получим численное решение наборов систем дифференциальных уравнений. Воспользуемся методом Рунге—Кутты четвёртого порядка с автоматическим выбором шага. Поскольку изменились только граничные условия, соображения о точности решения остаются справедливыми. Для обоих случаев можно получить точное решение задачи упругости.

Приведём численное решение при  $t_2 = 5$ ,  $q_* = 6$ ,  $K = 3$ ,  $r_* = 6$ ,  $\mu = 1$  для разных значений  $t_1$  при максимальной локальной погрешности решения  $1e - 5$ .

Автор благодарит Е. В. Ломакина, А. Н. Сахарова и А. В. Муравлёва.

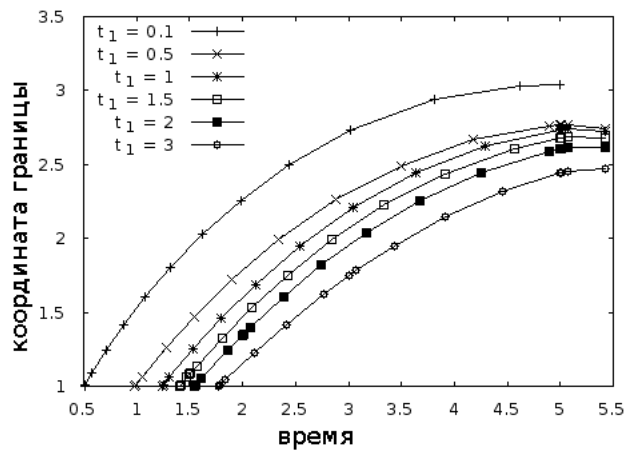


Рис. 6

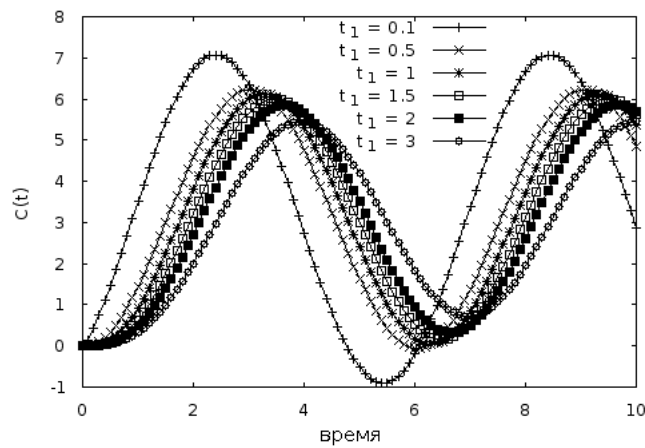


Рис. 7

## Литература

- [1] Арушанян И. О., Корнев А. А., Чижонков Е. В. Задачи и упражнения по курсу «Численные методы». — М.: Изд-во ЦПИ при мех.-мат. фак-те МГУ, 2006.
- [2] Бахвалов Н. С., Жидков Н. П., Кобельков Г. М. Численные методы. — М.: Бином, 2008.
- [3] Качанов Л. М. Основы теории пластичности. — М.: Наука, 1969.
- [4] Ломакин Е. В. Влияние запаздывания текучести на распространение пластической области в толстостенной трубе под действием динамической нагрузки // Изв. АН СССР. МТТ. — 1968. — № 2. — С. 168—171.
- [5] Работнов Ю. Н. Соппротивление материалов. — М.: Физматгиз, 1962.
- [6] Работнов Ю. Н. Механика деформируемого твёрдого тела. — М.: Наука, 1988.
- [7] Седов Л. И. Механика сплошной среды. — М.: Наука, 1970.
- [8] Соколовский В. В. Уруго-пластическое напряжённое состояние трубы, находящейся под действием равномерных внутреннего и внешнего давлений // Прикл. матем. и мех. — 1943. — Т. 7. — С. 74—80.
- [9] Федоренко Р. П. Введение в вычислительную физику. — М.: Изд-во МФТИ, 1994.
- [10] Хайрер Э., Нерсетт С., Ваннер Г. Решение обыкновенных дифференциальных уравнений. — М.: Мир, 1990.
- [11] Hopkinson B. The effects of momentary stress in metals // Proc. Roy. Soc. London. — 1904. — Vol. 74. — P. 498—506.
- [12] Hopkinson B. A method of measuring the pressure produced in the detonation of high explosives or by the impact of bullets // Trans. Roy. Philos. Soc. Ser. A. — 1914. — Vol. 213. — P. 437—456.